

DM. 3734 DETALLE DE LAS DOLO  
MIAS Y CALIZAS DEL DOGGER ( $J_2$ ), EN  
LAS PROXIMIDADES DE LA CARRETERA DE  
LA ESTACION DE CHINCHILLA A HORN  
(PK 7,500).



DM. 3735 VISTA PARCIAL DEL  
AFLORAMIENTO DEL DOGGER ( $J_2$ ) DE LA  
FOTOGRAFIA ANTERIOR.





DM. 3736. VISTA PARCIAL DE LAS CALIZAS NODULOSAS DEL OXFORDIENSE (J<sub>31</sub>).  
EN LAS PROXIMIDADES DE LA CARRETERA DE LA ESTACION DE CHINCHILLA A HORMA.

DM. 3737. DETALLE DE LA MARGA  
VERDOSA DE LA BASE DEL KIMMERIDGIEN-  
SE ( $J_{32}$ ), EN LAS PROXIMIDADES DE LA  
CARRETERA DE LA ESTACION DE CHIN-  
CHILLA A HORMA.

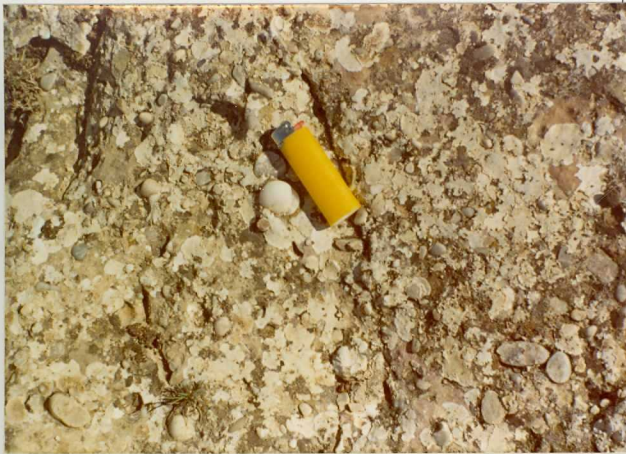


DM. 3738. VISTA GENERAL DE LA  
RITMITA KIMMERIDIENSE ( $J_{32}$ ), EN LAS  
PROXIMIDADES DE LA CARRETERA DE LA  
ESTACION DE CHINCHILLA A HORNA.



DM. 3739. DETALLE DE LA RITMIA  
KIMMERIDGIENSE (J<sub>32</sub>) DE LA FOTOGRAFIA  
ANTERIOR.





DM. 3740. DETALLE DE LOS CUARZOS AMIGDALOIDES CON QUE CULMINA LA RITMICA KIMMERIDGIENSE (J<sub>32</sub>)



DM. 3741. DETALLE DE LA CALIZA OOLITICA KIMMERIDGIENSE ( $J^c$   
32), EN EL CERRO  
DE LAS PEDRIZAS.



DM. 3742. VISTA PARCIAL DEL CONTACTO ENTRE LAS ARCILLAS Y ARENAS VERSICOLORES (1) DEL BARREMIENSE-APTIENSE-( $C_{W14-15}^{0-1}$ ) Y LAS CALIZAS OOLITICAS (2) DEL - KIMMERIDIENSE ( $J_{32}^C$ ), EN LA CARRETERA DE LA ESTACION DE CHINCHILLA A HORNA.  
(PK 6,300).



DM. 3743. DETALLE DE LAS ARCILLAS Y ARENAS VERSICOLORES EN FACIAS WEALD DEL  
BARREMIENSE-APTIENSE ( $C_{W14-W15}^{0-1}$ ).



D.M. 3744. PANORAMICA DE LOS RELIEVES JURASICO-CRETICOS PROXIMOS A LA CARRETERA N-301 (ALBACETE-MURCIA).

- 1.- CALIZAS DE CHARACEAS DEL BARREMIENSE ( $Cc_{14}$ )
- 2.- ARENAS VERSICOLORES Y ARCILLAS DEL BÁRREMIENSE ( $C_{w14-15}^{0-1}$ )
- 3.- RITMITA DEL KIMMERIDIENSE ( $J_{32}$ )
- 4.- CALIZAS NODULOSAS DEL OXFORDIENSE ( $J_{31}$ )
- 5.- DOLOMIAS Y CALIZAS DEL DOGGER ( $J_2$ )

DM. 3745. VISTA PARCIAL DE UN  
AFLORAMIENTO DE CALIZAS DE CHARACEAS  
DEL BARREMIENSE ( $Cc_{14}$ ). EN EL CERRO DE  
LA CABRERA.



DM. 3746. VISTA PARCIAL DE UNA CANTERA ABIERTA EN CALIZAS DE CHARACEAS  
DEL BARREMIENSE (Cc<sub>14</sub>). AL FONDO RELIEVES DEL CRETACICO SUPERIOR DE LA CORDILLE  
RA DE MONTE-ARAGON.





DM. 3747. CANTERA ABIERTA EN LAS ARENAS Y ARCILLAS DEL APTIENSE ( $C_15^3$ ), AL SUR DE CHINCHILLA. AL FONDO, LOS RELIEVES DEL CRETACICO SUPERIOR DE LA CORDILLERA DE MONTE-ARAGON.



DM. 3748. EXPLORACION DE ARENAS DEL APTIENSE ( $C_{15}^3$ ), AL SE. DE LA LOCALIDAD DE CHINCHILLA, EN EL PK 262,500 DE LA N-430.



DM. 3749. PANORAMICA DE LA ZONA DE EL RINCON, AL ESTE DE LA LOCALIDAD DE CHINCHILLA.

1.- DOLOMIAS Y CALIZAS DEL CENOMENIENSE-CONIACIENSE ( $C_{21-23}^{23-0}$ )

2.- ARENAS EN FACIES UTRILLAS ( $C_{15-21}^{3-1}$ )

3.- DEPOSITOS DETRITICOS DEL PLIOCUATERNARIO ( $Tan_2^B - Q_1$ )



DM. 3750. VISTA PARCIAL DE UN RELIEVE CRETACICO DE LA CORDILLERA DE MONTE-ARAGON.

- 1.- ARENAS Y ARCILLAS EN FACIES UTRILLAS ( $C_{15-21}^{3-1}$ ).
- 2.- DOLOMIAS Y CALIZAS DEL CENOMANIENSE-CONIACIENSE ( $C_{21-23}^{23-0}$ ).
- 3.- SEDIMENTOS DETRITICOS DEL PLIOCUATERNARIO ( $Tam \frac{B}{2} = 0_1$ ).



DM. 3751. DETALLE DE UN NIVEL DE CALIZA ARENOSA DEL CENOMANIENSE ( $C_{21-23}^{23-0}$ )  
CON ABUNDANTE FAUNA DE MOLUSCOS Y EQUINIDOS.

DM. 3752.

DETALLE DE UN NIVEL  
DOLOMITICO DEL CENOMANIENSE - CONIA -

CIENSE ( $C_{23=0}$ )  
 $(C_{21=23})$





DM. 3753. DETALLE DE DOLOMIAS  
Y MARGAS DOLOMITICAS DEL CENOMANIEN-  
SE-CONIACIENSE ( $\text{C}^{23-0}_{21-23}$ ).

DM. 3754. VISTA PARCIAL DE LOS ULTIMOS TRAMOS DOLOMITICOS DEL CENOMA-  
NIENSE-CONIACIENSE (C<sub>23-0</sub>  
21-23).



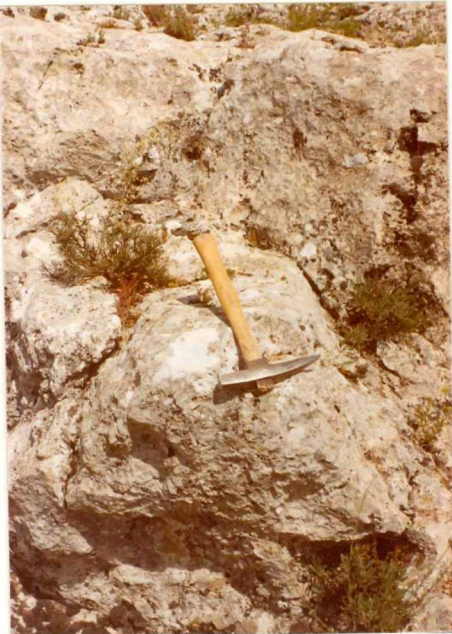


DM. 3755. VISTA PARCIAL DE LAS CALIZAS DEL SANTONIENSE ( $C_{24}$ ), EN  
EL CERRO DE LA CARACOLA, EN LA CORDILLERA DE MONTE-ARAGON.



DM. 3756. VISTA PARCIAL DE LA BIOCALCARENITA DEL HELVETIENSE ( $T_1^{Bb}$ ), AL NORTE DE LA HOJA, EN SU LIMITE CON LA DE VALDEGANGA.

DM. 3757. DETALLE DEL AFLORA-  
MIENTO DE BIOCALCARENITAS DEL HEL-  
VITIENSE ( $T_1^{Bb}$ ), REPRESENTADO EN LA  
FOTOGRAFIA ANTERIOR.





DM. 3758. EXPLORACION, ACTUALMENTE ABANDONADA, EN LOS SEDIMENTOS DETRITICOS DEL PLIOCUATERNARIO ( $T_{2-Q}^B$ ), EN LAS PROXIMIDADES DE LA CARRETERA N-430.



DM. 3759. DETALLE DE LA FORMACION DEL PLIOCUATERNARIO ( $Tam_2^B - Q_1$ ), REPRESENTADO EN LA FOTOGRAFIA ANTERIOR. LA PRESENCIA DE CANTOS CON GRANULOMETRIA GRUESA ES DEBIDA A LA PROXIMIDAD DE LOS MACIZOS MESOZOICOS.



DM. 3760. PANORAMICA DE LOS DEPOSITOS PLIOCUATERNARIOS ( $T_{am}^B$ - $Q_1$ ), QUE SE EXTIENDEN A LO LARGO Y ANCHO DE LA CARRETERA N-430. EN PRIMER TERMINO EL GLACIS ( $Q_{1-2}^B$ ). A LA IZQUIERDA LOS RELIEVES CRETACICOS DE LA CORDILLERA DE MONTE-ARAGON, A LA DERECHA RELIEVES JURASICOS.



DM. 3761. ASPECTOS DEL CUATERNARIO INDIFERENCIADO (Q), AL NORTE DE CERRO VICENTE.



DM. 3762. ASPECTOS DE LOS DEPOSITOS ALUVIALES ( $Q_2 AI$ ) SITUADOS EN EL ANGULO SO. DE LA HOJA.

DM. 3763.

ASPECTO DE LOS DEPOSITOS DE TERRAZA SITUADOS EN EL ANGULO SO.  
DE LA HOJA.

